УДК 547.1;539.26;546.151;546.175;548.315

## ИОДИД И НИТРАТ ТРИС(2,6-ДИМЕТОКСИФЕНИЛ)-ЭТИЛСТИБОНИЯ: СИНТЕЗ, СТРОЕНИЕ И СВОЙСТВА

© 2023 г. И. В. Егорова $^{1,*}$ , В. В. Жидков $^1$ , И. Н. Зубакина $^1$ , Н. А. Родионова $^1$ , Н. В. Куратьева $^2$ , Н. В. Первухина $^2$ 

<sup>1</sup> Благовещенский государственный педагогический университет, ул. Ленина 104, Благовещенск, 675000 Россия <sup>2</sup> Институт неорганической химии имени А. В. Николаева Сибирского отделения Российской академии наук, Новосибирск, 630090 Россия \*e-mail: bgpu.chim.egorova@mail.ru

> Поступило в редакцию 5 июля 2023 г. После доработки 14 августа 2023 г. Принято к печати 14 августа 2023 г.

Алкилированием трис(2,6-диметоксифенил)стибина  $Ar_3Sb$ , где Ar = 2,6-(MeO) $_2C_6H_3$ , иодэтаном в хлороформе получен [ $Ar_3EtSb$ ]I, реагирующий далее с нитратом свинца(II) с образованием [ $Ar_3EtSb$ ]NO $_3\cdot 0.75H_2$ O. Сравнительная характеристика комплексов выполнена методами PCA, ИК спектроскопии и синхронного термического анализа. Атомы сурьмы в стибониевых катионах имеют искаженную тетраэдрическую координацию, угол CSbC 106.80(12)–115.22(12)° и 105.33(14)–115.33(14)°. В кипящем водном растворе [ $Ar_3EtSb$ ]I [ $Ar_3EtSb$ ]NO $_3\cdot 0.75H_2$ O разлагаются до трис(2,6-диметоксифенил)стибина.

**Ключевые слова:** органические соединения сурьмы, триарилстибин, этилиодид, нитрат свинца(II), термогравиметрия

**DOI:** 10.31857/S0044460X23090093, **EDN:** WYHFPN

Органические соединения сурьмы обладают инсектицидной, антибактериальной, антипротозойной, противовирусной, фунгицидной, противораковой активностью [1-10]. Используются в аналитической практике, обладают большим синтетическим потенциалом в реакциях арилирования спиртов, фенолов, аминов, хиноксалинонов, бензофуранов, тиофенов, амидирования первичных аминов [11-19]. Палладий-катализируемая кросс-конденсация дихлорида или диацетата триарилсурьмы с органостаннанами или арилборными кислотами и монооксидом углерода позволяет получать разнообразные диарилкетоны в мягких условиях [20, 21]. Дибромид трифенилсурьмы – катализатор в синтезе α-дикетонов [22]. Стереоселективное присоединение бромидов тетраалкилстибония общей формулы  $[(Alk)_3SbCH_2E]Br [Alk = Et,$ n-Bu; E = Ph, CH=CH<sub>2</sub>, CH=CHCO<sub>2</sub>Et, CO<sub>2</sub>Me, CN,  $CH=CHR^{1}$ ;  $R^{1}=Me$ ,  $C_{3}H_{7}$ ,  $CH(CH_{3})_{2}$ ] к альдегидам  $R^2$ CHO ( $R^2$  = Ph, 4-ClC<sub>6</sub>H<sub>4</sub>, 4-MeC<sub>6</sub>H<sub>4</sub>, PhCH=CH, пиридин-2-ил, 4-BrC<sub>6</sub>H<sub>4</sub>) с последующим гидролизом образующихся продуктов, используется в синтезе вторичных спиртов [23–25]. Метакрилат и кротонат тетрафенилсурьмы были использованы для получения сурьмасодержащего полистирола [26]. Иодид и бромид тетрафенилсурьмы выступают катализаторами в реакции конденсации оксиранов с изоцианатами, карбодиимидами, протекающей с образованием 3,4-, 3,5-дизамещенных оксазолидин-2-онов и 3,4-дизамещенных оксазолидин-2-иминов [27]. Иодид тетрафенилстибония — катализатор циклоприсоединения диоксида углерода к оксетану для селективного получения триметиленкарбоната [28].

Соли тетраарил- и тетраалкилстибония с хорошим выходом образуются при взаимодействии пентаорганилсурьмы с соответствующими кислотами

[13]. Менее изучены методы синтеза и свойства солей тетраорганилстибония, содержащих при атоме сурьмы различные органические заместители [Ar<sub>4-n</sub>Alk<sub>n</sub>Sb]X. Основной способ получения соединений  $[Ar_{4-n}Alk_nSb]X$  (n = 2, 3) — алкилирование Ar<sub>2</sub>AlkSb или ArAlk<sub>2</sub>Sb алкилгалогенидом. Однако долгое время данным способом не удавалось синтезировать [Ar<sub>3</sub>AlkSb]Hlg. Поэтому для получения стибониевых соединений [Ar<sub>3</sub>MeSb]X, Ar = Ph, Tol, Mes,  $(3,4-Me)_2C_6H_3$ ,  $(2,4-Me)_2C_6H_3$ ,  $X = BF_4$ , в качестве алкилирующего агента использовали борфториды триметилоксония [29–31]. Синтез стибониевых соединений общей формулы  $[Ar_3AlkSb]Hlg [Ar = 2,6-(MeO)_2C_6H_3; Alk = Me, Et,$ n-Bu, CH<sub>2</sub>CH=CH<sub>2</sub>; Hlg = Cl, Br, I] описан в работе [32].

Ранее трис(2,6-диметокалкилированием сифенил)стибина ЭТИЛОВЫМ эфиром иодуксусной кислоты и 1,4-дииодбутаном нами получены  $[Ar_3RSb]^{n+}I_n^ [Ar = 2,6-(MeO)_2C_6H_3;$ n = 1, R = Me, (CH<sub>2</sub>)<sub>4</sub>I, CH<sub>2</sub>C(O)OEt; n = 2, R = (CH<sub>2</sub>)<sub>4</sub>SbAr<sub>3</sub>] и [Ar<sub>3</sub>SbCH<sub>2</sub>C(O)OEt]<sub>2</sub>[Hg<sub>2</sub>I<sub>6</sub>],  $[Ar_3MeSb]_2[HgI_4]\cdot DMSO$  [33]. Границы применимости алкилгалогенидов для алкилирования триарилстибина нами успешно расширены на примере трис(N,N-диметиламинофенил)стибина [34]. Строение  $[(4-N,N-Me_2C_6H_4)_3MeSb]I$  и  $[(4-N,M-Me_2C_6H_4)_3MeSb]I$  и  $[(4-N,M-Me_2C_6H_4)_3MeSb]I$ Me<sub>2</sub>C<sub>6</sub>H<sub>4</sub>)<sub>3</sub>MeSb]<sub>2</sub>[Hg<sub>2</sub>I<sub>6</sub>]·2DMSO установлено методами РСА и спектроскопии ЯМР.

Подавляющее большинство соединений сурьмы общей формулы Ar<sub>4</sub>SbX, строение которых установлено методом РСА, является производными тетрафенилстибония. Соединения, содержащие при атоме сурьмы три арильных и алкильный заместители, исследованы крайне недостаточно: в Кембриджском центре кристаллографических данных они представлены менее, чем 5% от общего числа Ar<sub>4</sub>SbX. Сравнение между собой соединений тетраорганилстибония позволит определить влияние природы Ar-, Alk-заместителей, аниона Х- и растворителя на пространственное строение Ar<sub>3</sub>AlkSbX и их свойства. Основой для выявления закономерностей изменения прочности связей Sb-C в соединениях Ar<sub>3</sub>AlkSbX является надежное установление их строения. В связи с этим представляет интерес получение и исследование строения иодида и нитрата тетраорганилстибония, в которых структурообразующий фрагмент [Ar<sub>3</sub>AlkSb] содержит 2,6-заместители (MeO)<sub>2</sub>C<sub>6</sub>H<sub>3</sub> и Еt. Присутствие в заместителях ароматического лиганда n-доноров (атомов кислорода) способно приводить к гипервалентному взаимодействию, и, как следствие, увеличению координационного числа центрального атома, а также оказывать влияние на пространственную упаковку молекул в кристалле.

Целью данных исследований является разработка удобного метода синтеза солей тетраорганилстибония, содержащих в ароматических заместителях катиона  $[Ar_3AlkSb]^+$  потенциальные координирующие центры (атомы кислорода метоксигрупп), установление их строения и свойств.

Трифенилстибин не вступает в реакцию с галогеналканами. Возможность алкилирования галоидными алкилами трис(2,6-диметоксифенил)стибина обусловлена его большей нуклеофильностью, связанной с присутствием в фенильных заместителях сильных электронодонорных МеО-групп.

Алкилирование трис(2,6-диметоксифенил)стибина иодистым этилом (1:1.3 мол.) проводили в хлороформе при комнатной температуре в течение 48 ч (схема 1). Данная реакция в бензоле протекает более чем с трехкратным избытком алкилирующего агента [32]. Нами показано, что уменьшение количества этилиодида (~ в 2 раза), по отношению к указанному в работе [32], не снижает выход продукта реакции. Бесцветные кристаллы трис(2,6-диметоксифенил)этилстибония  $\{[2,6-(MeO)_2C_6H_3)_3\}$ ЕtSb $\{I\ 1\ выделены\ c\ выхо$ дом 94%. Синтез нуклеофила – трис(2,6-диметоксифенил)стибина - основан на взаимодействии хлорида сурьмы(III) с 2,6-диметоксифениллитием, полученным из 1,3-диметоксибензола и менее пирофорного (по сравнению с использованным в работе [32] бутиллитием) фениллития.

Реакцией обмена между соединением 1 и нитратом свинца(II) (схема 1) в этиловом спирте впервые получен нитрат трис(2,6-диметоксифенил)этилстибония. Реакционную смесь перемешивали 1 ч при комнатной температуре. Отделение осадка иодида свинца(II) проводили его фильтрованием после созревания в течение двух часов в маточном растворе. После испарения этанола наблюдали образование бледно-желтых кристал-

#### Схема 1.

лов, которые перекристаллизовывали из смеси ацетон–ДМФА (1:1) и выделяли в виде гидрата  $\{[(2,6-MeO)_2C_6H_3]_3EtSb\}NO_3\cdot 0.75H_2O$  2 с выходом 87%.

Полосы поглощения в ИК спектрах соединений 1, 2 относили в соответствии с данными работ [33, 35, 36]. Свободное состояние нитратной группы в соединении 2 подтверждается положением полосы поглощения при 831.5 см<sup>-1</sup>, относящейся к внеплоскостному деформационному колебанию нитратной группы, и полосы поглощения  $v_{as}(NO)$ , расщепляющейся на две близкие компоненты 1384.2, 1344.3 см<sup>-1</sup>. Расшепление полосы поглощения можно объяснить асимметричной сольватацией нитратных групп, приводящей к искажению симметрии D3h, характерной для свободной NO<sub>3</sub>-группы. Присутствие кристаллизационной воды подтверждают широкая полоса поглощения с максимумом при 3435 см<sup>-1</sup> (vOH) и полоса поглощения при  $1622.5 \text{ см}^{-1} [\delta(HOH)]$ . Значение расщепления  $v_{as} \sim 40 \text{ cm}^{-1}$  предполагает координацию двух молекул воды [37].

Нагревание водных или спиртовых растворов галогенидов тетраалкилстибония иногда сопровождается частичным разложением с выделением галоидного алкила и триалкилстибина. Соли тетраарилстибония устойчивы при хранении, нелетучи, хорошо растворимы и устойчивы в воде [13]. Поскольку в комплексах 1, 2 присутствуют этильный и арильные заместители при атоме сурьмы, представляет интерес изучение их стабильности и возможности разложения до триарилстибина. Установлено, что комплексы 1, 2, могут быть очищены перекристаллизацией из кипящего этанола. В то же время в кипящем водном раство-

ре соединения 1, 2 количественно разлагаются до трис(2,6-диметоксифенил)стибина.

Согласно данным Кембриджского центра кристаллографических данных, иодиды тетраорганилстибония [Me<sub>4</sub>Sb]I, [Me<sub>4</sub>Sb]I<sub>3</sub>, [Me<sub>4</sub>Sb]I<sub>8</sub>, [Me<sub>3</sub>EtSb]I<sub>3</sub>, [(PhCH<sub>2</sub>)<sub>3</sub>MeSb]I, [(4-N,N-Me<sub>2</sub>C<sub>6</sub>H<sub>4</sub>)<sub>3</sub>MeSb]I, [Ph<sub>4</sub>Sb]I<sub>3</sub> имеют ионное строение. Наименьшее расстояние между атомами сурьмы и иода 3.3413(7) Å (сумма ковалентных радиусов данных атомов 2.78 Å [38]) наблюдается в искаженной тригонально-бипирамидальной структуре Ph<sub>4</sub>SbI (угол  $C_{ax}$ SbI  $173.78^{\circ}$ ). Структуры нитратов тетраорганилстибония представлены лишь фенильным производным Ph<sub>4</sub>SbNO<sub>3</sub> и его сольватом с азотной кислотой [39].

Для установления пространственного строения соединений медленной кристаллизацией из хлороформа и смеси ацетон—ДМФА были получены монокристаллы соединений 1 и 2, пригодные для рентгеноструктурного анализа (табл. 1). Соединение  $\{[2,6\text{-}(\text{MeO})_2\text{C}_6\text{H}_3)_3]\text{EtSb}\}$  I кристаллизуется в моноклинной сингонии,  $\{[2,6\text{-}(\text{MeO})_2\text{C}_6\text{H}_3)_3]\text{-}$  EtSb $\}$ NO $_3$ ·0.75H $_2$ O 2 — триклинной сингонии. Согласно данным PCA, основу кристаллической структуры комплексов 1 и 2 составляют катионы  $\{[(2,6\text{-MeO})_2\text{C}_6\text{H}_3]_3\text{EtSb}\}^+$  и анионы  $I^-$ , NO $_3^-$  соответственно (рис. 1–3). В элементарной ячейке комплекса 2 присутствуют две пары структурно неэквивалентных ионов.

В катионах  $\{[2,6\text{-}(\text{MeO})_2\text{C}_6\text{H}_3)_3]\text{EtSb}\}^+$  межатомные расстояния Sb-C<sub>Et</sub> составляют 2.121(3) (1), 2.117(3) (2a), 2.123(3) Å (2б), Sb-C<sub>Ar</sub> 2.090(3)–2.094(3) (1), 2.084(3)–2.092(3) (2a), 2.094(3)–2.101(3) Å (2б) (сумма ковалентных радиусов атомов Sb и  $\text{C}_{sp}^3$ ,  $\text{C}_{sp}^2$  2.15, 2.12 Å [38]). Длины связей

**Таблица 1.** Основные кристаллографические параметры и характеристики рентгеноструктурного эксперимента для соединений **1** и **2** 

Параметр	Значение	
	1	2
Брутто формула	C <sub>26</sub> H <sub>32</sub> IO <sub>6</sub> Sb	C <sub>26</sub> H <sub>32</sub> NO <sub>9</sub> Sb·0.75H <sub>2</sub> O
M	689.16	637.79
Сингония	Моноклинная	Триклинная
Пространственная группа	Cc	$P\overline{1}$
a, Å	15.1842(4)	10.8288(3)
b, Å	15.5024(5)	14.4773(3)
c, Å	13.1592(4)	19.4688(4)
α, град		76.733(1)
β, град	116.131(1)	80.796(1)
ү, град		72.540(1)
V, Å <sup>3</sup>	2780.96(14)	2820.16(12)
Z	4	4
$d_{\text{выч}},  \Gamma/\text{cm}^3$	1.646	1.502
$\mu(MoK_{\alpha}), mm^{-1}$	2.138	1.032
F(000)	1360	1302
Размеры кристалла, мм	$0.38 \times 0.28 \times 0.23$	0.50×0.25×0.12
Диапазон углов 20, град	2.628-27.596	1.080–26.435
Число измеренных отражений	10442	22445
Число независимых отражений	$5031 (R_{\text{int}} 0.0248)$	11474 ( <i>R</i> <sub>int</sub> 0.0303)
Полнота сбора данных по 0 25.00°, %	99.6	98.8
$S$ -Фактор по $F^2$	1.061	1.031
$R$ -Фактор по $I > 2\sigma(I)$	$R_1$ 0.0147, $wR_2$ 0.0366	$R_1$ 0.0373, $wR_2$ 0.0823
R-Фактор по всем отражениям	$R_1 0.0148, wR_2 0.0367$	$R_1$ 0.0542, $wR_2$ 0.0881
Остаточная электронная плотность (max/min), $e/Å^3$	0.504/-0,311	1.306/-0.763

Sb-C<sub>Ar</sub> сокращены, по сравнению с расстояниями Sb– $C_{Ph}$  в иодиде и нитрате тетрафенилсурьмы ( $d_{cp}$ Sb-C<sub>Ph</sub> 2.116 Å) [39]. Это связано с присутствием в арильном заместителе метоксильных групп, неподеленные электронные пары атомов кислорода которых, π-электроны арильных колец, вакантные d-орбитали атома сурьмы вовлечены в p- $\pi$ -d-сопряжение. Расстояния Sb- $C_{Ar}$  в комплексах 1 и 2 сравнимы с аналогичными расстояниями B  $[(4-N,N-Me_2C_6H_4)_3MeSb]I [2.078(2)-2.087(3) Å],$  $[(4-N,N-Me_2C_6H_4)_3MeSb]_2[Hg_2I_6] \cdot 2DMSO$ [2.087(4)-2.091(4) Å], что также обусловлено участием атома азота аминогруппы фенильного заместителя в  $p-\pi-d$ -сопряжении [34]. Длины связей Sb-C<sub>Et</sub> в соединениях 1, 2 меньше расстояния  $Sb-C_{Alk}$  (2.140(4) Å) в катионе  $\{[2,6-(MeO)_2C_6H_3]_3SbCH_2C(O)OEt\}^+$ , где алкильный заместитель содержит электроноакцепторную этоксикарбонильную группу [33].

В соединениях **1**, **2** наблюдаются внутримолекулярные взаимодействия атомов кислорода метокси-групп с атомом сурьмы. Расстояния Sb···O составляют 2.923(3)—3.224(2) (1), 2.914(2)— 3.231(2) Å (**2**), что меньше суммы ван-дер-ваальсовых радиусов данных атомов (3.58 Å [40]). Отметим, что значения ван-дер-ваальсова радиуса атома сурьмы, приводимые в различных литературных источниках, существенно варьируются: 2.06 [40], 2.2 [41], 2.24 [42], 2.47 [43] и 2.52 Å [44]. Атомы сурьмы имеют искаженную тетраэдрическую координацию, о чем свидетельствуют значения углов CSbC, находящиеся в интервалах 106.80(12)—115.22(12)° (**1**), 105.70(14)—114.39(14)° (**2a**) и 105.33(14)—115.33(14)° (**26**). Искажение об-

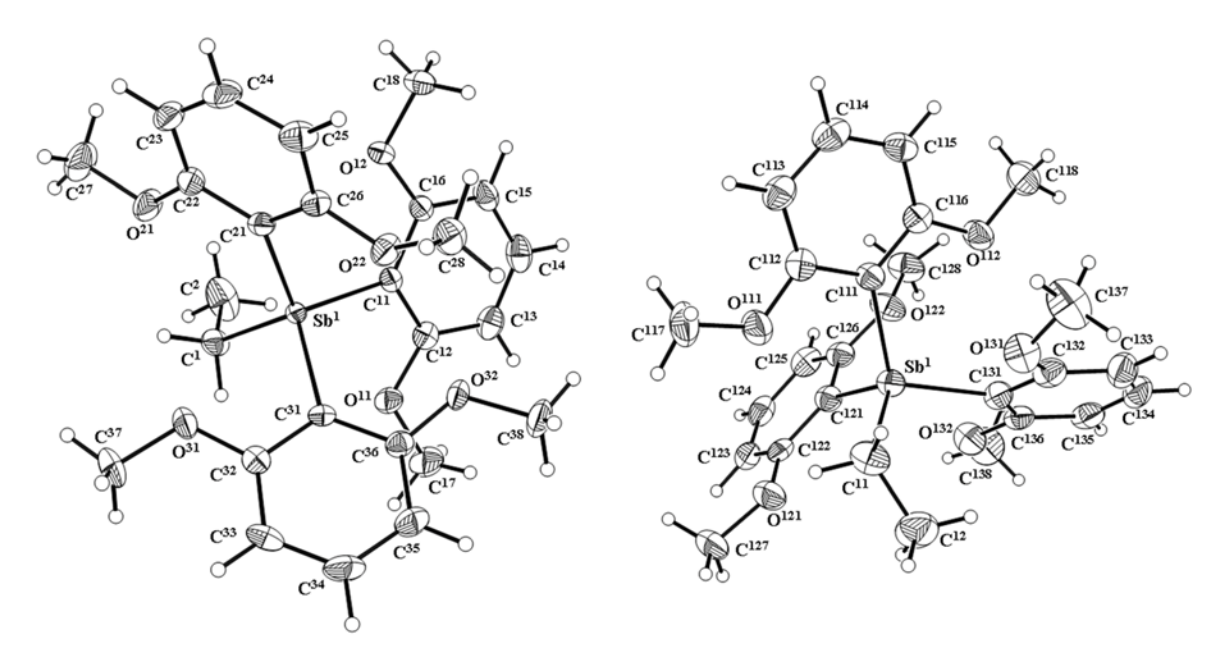
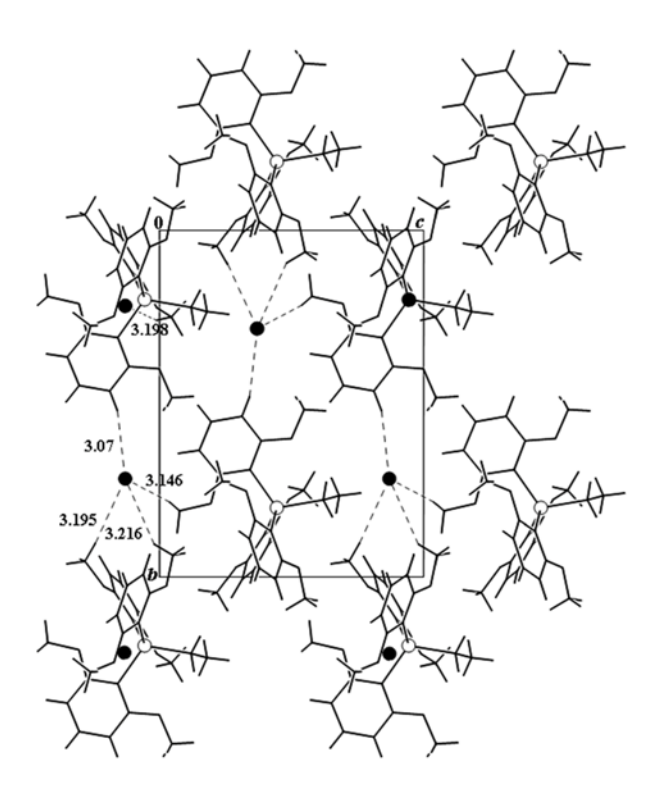


Рис. 1. Общий вид катионов соединений 1 и 2а.

условлено различным объемом органических заместителей [2,6-(MeO) $_2$ C $_6$ H $_3$ , Et] и присутствием контактов Sb···O.



**Рис. 2.** Слой структуры соединения **1**, проекция на плоскость (100).

В структуре 1 катионы образуют искаженные гофрированные гексагональные псевдослои в плоскости (110). Анионы І<sup>-</sup> располагаются в пустотах гексагональной упаковки. Имеют место межмолекулярные контакты с участием иодид-анионов и атомов водорода метокси-групп арильных заместителей или фенильных колец (рис. 2).

В соединении 2 отсутствует координация между атомами сурьмы и кислорода нитратного аниона, кратчайшее расстояние составляет 5.880(3) Å. Аналогичное расстояние в кристаллографически независимых молекулах нитрата тетрафенилсурьмы, где атом сурьмы имеет искаженную тригонально-бипирамидальную координацию, составляет 2.432(3)-2.600(4) Å [39], сумма ковалентных радиусов данных атомов 2.05 Å [38]. Атом азота нитратной группы имеет  $sp^2$ -гибридизацию [углы ONO находятся в интервале 119.2(4)-120.8(4)° (2a),  $118.4(4)-122.2(4)^{\circ}$  (26)]. В структуре четко наблюдается слоистое упорядочение катионной и анионной части с чередованием слоев вдоль направления а. Структура дополнительно стабилизирована водородными связями, образованными NO<sub>3</sub>-анионами и кристаллизационными молекулами воды  $[O^{1W}...O^{11}\,2.909(5)\,\text{Å},O^{11}...H^{12W'}\,2.03(3)\,\text{Å},$  угол  $O^{1W}$ – $H^{12W}\cdots O^{11}\,153(4)^\circ;O^{1W}\cdots O^{22'}\,2.772(4)\,\text{Å},$   $O^{22'}\cdots H^{11W'}$  1.86(2) Å, угол  $O^{1W}$ – $H^{11W}\cdots O^{22'}$ 

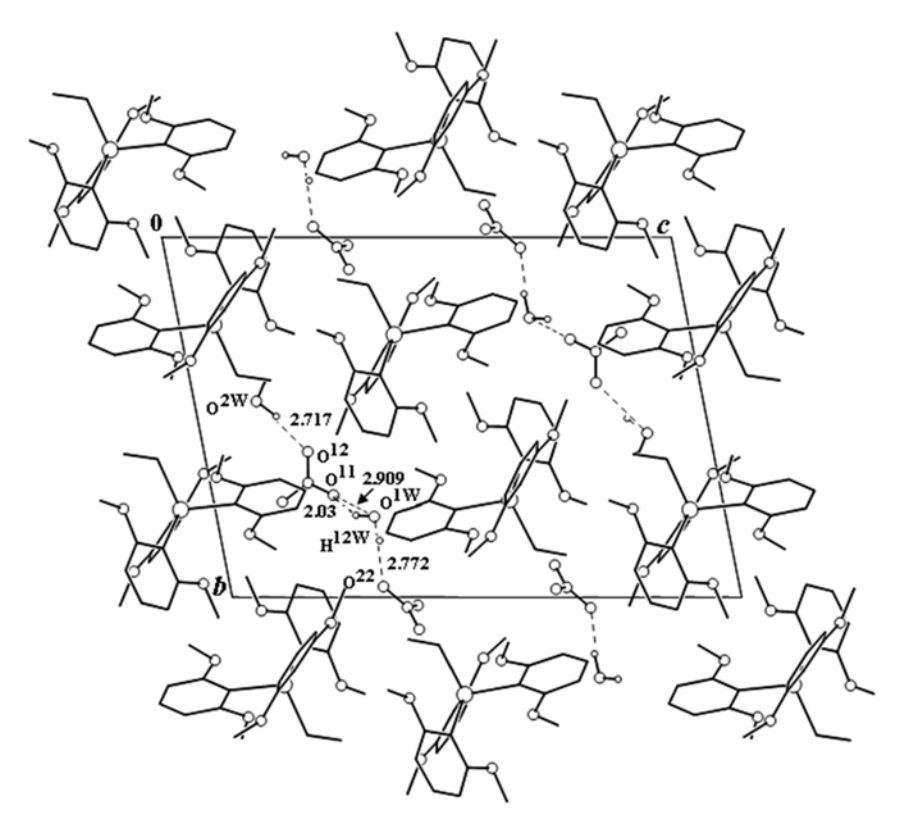


Рис. 3. Проекция структуры соединения 2 на плоскость (100).

 $166(4)^{\circ}$ ;  $O^{2W} \cdots O^{12} 2.717(9)$  Å,  $O^{12} \cdots H^{22W'} 1.83(5)$  Å, угол  $O^{2W} - H^{22W} \cdots O^{12} 153(8)^{\circ}$ ] (рис. 3).

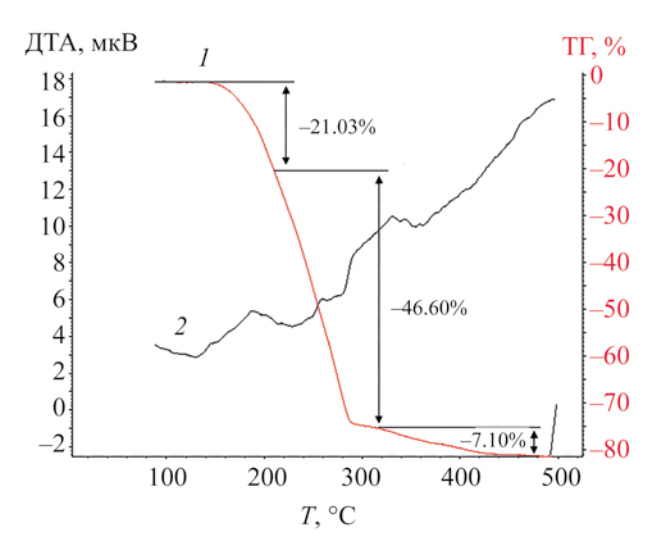
Термическое поведение соединений **1**, **2** изучено в воздушной атмосфере методом СТА с одновременной регистрацией кривых ТГ и ДТА. Для более четкого выявления характеристических точек было выполнено дифференцирование ТГ-кривой. Термолиз соединения **1** в интервале температур 117.0–212.0°С сопровождается потерей массы в 21.03%, что указывает на отщепление этильного и иодидного фрагментов (расч. 22.64%) (рис. 4). Следующий этап дефрагментации комплекса по арильным заместителям отражает основную потерю массы (46.60%) и включает финальный участок плавной десорбции летучих продуктов термолиза (7.10%) с формированием оксида сурьмы(III) (остаточная масса 25.42%, расч. 21.15%).

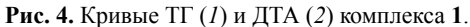
Профиль ТГ-кривой соединения **2** свидетельствует о дегидратации в 4.94% (расч. 4.24%) при 70–120°С (рис. 5). Соединение устойчиво до 175°С. Процесс разложения начинается непосред-

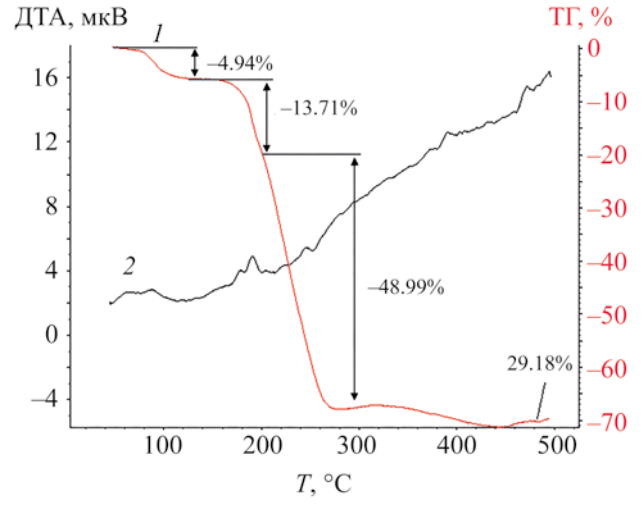
ственно при начале плавления, об этом свидетельствует экзотермический пик на кривой ДТА. На кривой ТГ в интервале 175.0–200.0°С наблюдается потеря массы 13.71%. Можно предположить, что термическая деструкция соединения на данном этапе протекает с участием нитрат-иона и этильного заместителя (расч. 14.28%). На следующем участке термолиз комплекса 2 проходит по арильным заместителям с участием кислорода воздуха (потеря массы составляет 48.92%) и формированием оксида сурьмы(III) (остаточная масса 29.18%, расч. 22.85%).

Увеличение масс остатков объясняется адсорбцией газов, окислением и карбонизацией исследуемых веществ. В ИК спектрах продуктов термолиза соединений 1 и 2, охлажденных до комнатной температуры, появляется интенсивная полоса при  $\sim 2360~{\rm cm}^{-1}$ , которая относится к  $v_{\rm as}(C=0)$  в диоксиде углерода. Кроме того, присутствуют в небольшом количестве непредельные фрагменты, полосы поглощения которых находятся в области

ЖУРНАЛ ОБЩЕЙ ХИМИИ том 93 № 9 2023







**Рис. 5.** Кривые ТГ (1) и ДТА (2) комплекса 2.

1740–1590 см $^{-1}$ , алифатические группы СН $_2$ , СН $_3$  (2851–2966 см $^{-1}$ ). Широкая полоса с максимумом при 3435 см $^{-1}$ , вероятно, связана с адсорбированной на поверхности водой. Очень слабые полосы поглощения при 1347.4 и 1395.5 см $^{-1}$  в продукте разложения комплекса **2** относятся к  $\nu_{as}$ (NO). Интенсивная полоса в ИК спектре при 741 см $^{-1}$  отвечает за  $\nu_{as}$ (SbO) колебания в Sb $_2$ O $_3$  [45].

Таким образом, синтезированы нитрат и иодид трис(2,6-диметоксифенил)этилстибония. ние соединений установлено методом РСА. Катионы  $\{[2,6-(MeO)_2C_6H_3)_3]EtSb\}^+$  имеют искаженную тетраэдрическую конфигурацию. Метоксигруппы участвуют в нековалентных взаимодействиях с центральным атомом стибониевого катиона и иодид-ионами. Структура нитратного комплекса стабилизирована водородными связями, в которые вовлечены молекулы воды и нитрат-ионы. Полученные соединения устойчивы в горячем спирте; при кипячении в водном растворе разлагаются с образованием трис(2,6-диметоксифенил)стибина. Изучен термолиз полученных соединений в окислительной (воздух) среде в области температур 25-500°C.

#### ЭКСПЕРИМЕНТАЛЬНАЯ ЧАСТЬ

ИК спектры (КВr) регистрировали на интерференционном ИК спектрометре с Фурье-преобразованием ФСМ-2202 в диапазоне 400–4000 см<sup>-1</sup>.

Управление прибором и обработку спектров осуществляли по программе FSpec (версия 4.0.0.2 для Windows, OOO «Мониторинг», Россия). Элементный анализ выполняли на CHN-анализаторе Carlo Erba (модель 1106). Содержание иода определяли гравиметрическим методом в форме  $PbI_2$ . Термоанализ образцов производили в термогравиметрическом анализаторе Linseis STA PT 1000 (TG-DSC/DTA). Скорость нагрева составляла 3 град/мин до  $500^{\circ}$ С в атмосфере воздуха, скорость потока воздуха -20 мл/мин.

Рентгеноструктурный эксперимент для соединений 1 и 2 выполнен на дифрактометре Bruker Nonius X8Apex с 4K CCD детектором с использованием ф- и ф-сканирования. Поправки на поглощение введены с помощью программы SADABS [46], которая использует многократные измерения одних и тех же отражений при разных ориентациях кристалла. Структуры расшифрованы прямым методом и уточнены полноматричным МНК по  $F^2$ в анизотропном приближении для неводородных атомов с использованием комплекса программ SHELX2014 [47]. Атомы водорода органических лигандов расставлены геометрически и уточнены в приближении жесткого тела. Кристаллографические данные и детали дифракционного эксперимента приведены в табл. 1. Структурные данные депонированы в Кембриджском центре кристаллографических данных [ССDC 2277202 (1), 2277203 (2)].

ЖУРНАЛ ОБЩЕЙ ХИМИИ том 93 № 9 2023

Иодид трис(2,6-диметоксифенил)этилстибония (1). К 2.00 г (3.75 ммоль) трис(2,6-диметоксифенил)стибина [33] в 50 мл хлороформа при перемешивании по каплям прибавляли раствор этилиодида, взятого в сверхстехиометрическом (~30%) соотношении в 30 мл хлороформа. Смесь выдерживали при комнатной температуре в течение 48 ч. Растворитель испаряли. Кристаллы промывали диэтиловым эфиром (3×15 мл) и сушили. Выход 2.43 г (94%), т. пл. 207°С. ИК спектр, v, cm<sup>-1</sup>: 3063.6 (C<sub>Ar</sub>-H), 2940.7 [ $v_{as}$ (CH<sub>3</sub>)], 2927.2  $[v_{as}(CH_2)]$ , 2872.6  $[v_s(CH_2)]$ , 2839.4  $[v_s(CH_3)]$ , 1587.7  $[v_{as}(C_{Ar}-C_{Ar})], 1472.9$  $[v_s(C_{Ar}-C_{Ar})],$  $[v_{as}(C_{Me}-O-C_{Ar}], 1105.5[v_{s}(O-C_{Me})], 781.0[\rho(CH_{2})].$ Найдено, %: С 45.18; Н 4.77. С<sub>26</sub>Н<sub>32</sub>IO<sub>6</sub>Sb. Вычислено. %: С 45.31: Н 4.68.

Гидрат нитрата трис(2,6-диметоксифенил)этилстибония (2). К 1.00 г (1.450 ммоль) соединения 1 в 30 мл этанола при перемешивании (1 ч) приливали 30 мл этанола, содержащего 0.24 г (0.725 ммоль) нитрата свинца(II). Смесь выдерживали при комнатной температуре в течение 2 ч. Осадок иодида свинца(II) отделяли и промывали на фильтре этанолом ( $2 \times 15$  мл). При испарении растворителя получали бледно-желтые кристаллы, которые перекристаллизовывали из смеси ацетон-ДМФА. Выход 0.78 г (87%), т. пл. 175°C (разл.). ИК спектр,  $\nu$ , см<sup>-1</sup>: 3078.0 (С<sub>Ar</sub>-H), 2940.7  $[v_{as}(CH_3)]$ , 2927.2  $[v_{as}(CH_2)]$ , 2872.6  $[v_{s}(CH_2)]$ , 2839.4 [ $v_s(CH_3)$ ], 1587.7 [ $v_{as}(C_{Ar}-C_{Ar})$ ], 1472.9  $[v_s(C_{Ar}-C_{Ar})]$ , 1384.2, 1344.3  $v_{as}(NO)$ ,  $[v_{as}(C_{Me}-O-C_{Ar}], 1100.0[v_{s}(O-C_{Me})], 831.5[\gamma(NO_{3}^{-})],$ 783.4 [ $\rho$ (CH<sub>2</sub>)]. Найдено, %: С 48.83; H 5.20; N 2.09. С<sub>26</sub>H<sub>32</sub>NO<sub>9</sub>Sb·0.75 H<sub>2</sub>O. Вычислено, %: С 48.96; Н 5.29; N 2.20.

Разложение иодида трис(2,6-диметоксифенил) этилстибония. 0.50 г соединения 1 в 30 мл воды кипятили в течение 1 ч. Раствор выливали в чашки Петри. Растворитель испаряли, твердый остаток сушили, перекристаллизовывали (хлороформ—спирт, 1:1). Выделено 0.36 г (93%) трис-(2,6-диметоксифенил) стибина, т. пл. (162°С) и параметры ИК спектра идентичны характеристикам соединения, полученного в работе [33].

**Разложение гидрата нитрата трис(2,6-диметоксифенил)этилстибония** проводили аналогично. Выход трис(2,6-диметоксифенил)стибина составляет 0.40 г (96%), т. пл. 162°C.

#### ИНФОРМАЦИЯ ОБ АВТОРАХ

Егорова Ирина Владимировна, ORCID: https://orcid.org/0000-0001-8799-608X

Родионова Наталья Александровна, ORCID: https://orcid.org/0000-0002-8682-2675

Куратьева Наталья Владимировна, ORCID: https://orcid.org/0000-0001-5993-2900

#### ФИНАНСОВАЯ ПОДДЕРЖКА

Работа выполнена при поддержке Министерства науки и высшего образования Российской Федерации (проект № 121031700313-8).

### КОНФЛИКТ ИНТЕРЕСОВ

Авторы заявляют об отсутствии конфликта интересов.

#### СПИСОК ЛИТЕРАТУРЫ

- Yadav R.N.P. // Academic Voices. 2013. Vol. 3. N 1. P. 40. doi 10.3126/av.v3i1.9983
- Ma Y.-Q., Yu L., Li J.-S. // Heteroatom Chem. 2002.
   Vol. 13. N 4. P. 299. doi 10.1002/hc.10033
- 3. *Khosa M., Mazhar M., Ali S., Shahid K., Malik F.* // Turk. J. Chem. 2006. Vol. 30. P. 345. doi 10.1002/(SICI)1099-0739(199801)12:1<31::AID-AOC665>3.3.CO;2-6
- Artem'eva E.V., Duffin R.N., Munuganti S., Efremov A.N., Andrews P.C., Sharutina O.K., Sharutin V.V. //
  J. Inorg. Biochem. 2022. Vol. 234. P. 111864. doi 10.1016/j.jinorgbio.2022.111864
- Gupta R., Mathur M., Swami A.K., Sharma J., Singh Y. // J. Saudi Chem. Soc. 2017. Vol. 21. P. 67. doi 10.1016/j. jscs.2014.09.003
- Geng H., Hong M., Yang Y., Li D., Li X., Liu F., Niu M. // J. Coord. Chem. 2015. Vol. 68. P. 2938. doi 10.1080/00958972.2015.1060322
- Wang G.-C., Xiao J., Yu L., Li J.-S., Cui J.-R., Wang R.-Q., Ran F.-X. // J. Organomet. Chem. 2004. Vol. 689. P. 1631. doi 10.1016/j.jorganchem.2004.02.015
- Lei J., Liu Y., Ou Y., Au C.-T., Chen Y., Yin S.-F. // Eur. J. Med. Chem. 2019. Vol. 177. P. 350. doi 10.1016/j. ejmech.2019.05.054
- 9. *Tiekink E.R.T.* // Crit. Rev. Oncol. Hematol. 2002. Vol. 42. P. 217. doi 10.1016/S1040- 8428(01)00217-7
- Duffin R.N., Werrett M.V., Andrews P.C. // Adv. Inorg. Chem. 2020. Vol. 75. P. 207. doi 10.1016/bs. adioch.2019.10.001
- Potratz H.A., Rosen J.M. // Anal. Chem. 1949. Vol. 21.
   N 10. P. 1276. doi 10.1021/ac60034a037

ЖУРНАЛ ОБЩЕЙ ХИМИИ том 93 № 9 2023

- Willard H.H., Perkins L.R. // Anal. Chem. 1953. Vol. 25.
   N 11. P. 1634. doi 10.1021/ac60083a016
- 13. Кочешков К.А., Сколдинов А.П., Землянский Н.Н. Методы элементоорганической химии. Сурьма, висмут. М.: Наука, 1976. С. 184.
- 14. Столярова Т.Е., Шавырин А.С., Фине Ж.П., Федоров А.Ю. // Изв. АН. Сер. хим. 2003. № 8. С. 1647; Stolyarova T.E., Shavyrin A.S., Finet J.-P., Fedorov A.Yu. // Russ. Chem. Bull. 2003. Vol. 52. P. 1736. doi 10.1023/A:1026044302134
- Qin W., Kakusawa N., Wu Y., Yasuike S., Kurita J. // Chem. Pharm. Bull. 2009. Vol. 57. N 4. P. 436. doi 10.1248/cpb.57.436
- Matsumura M., Nojima H., Kitamura Y., Murata Y., Yasuike S. // J. Organometal. Chem. 2023. Vol. 989. P. 122639. doi 10.1016/j.jorganchem.2023.122639
- 17. Kitamura Y., Murata Y., Iwai M., Matsumura M., Yasuike S. // Molecules. 2021. Vol. 26. P. 97. doi 10.3390/molecules26010097
- 18. Kitamura Y., Murata Y., Oguri A., Matsumura M., Kakusawa N., Naka H., Yasuike S. // Asian J. Org. Chem. 2019. Vol. 8. P. 138. doi 10.1002/ajoc.201800654
- Nomura R., Wada T., Yamada Y., Matsuda H. // Chem. Lett. 1986. Vol. 15. N 11. P. 1901. doi 10.1246/ cl.1986.1901
- Kang S.-K., Ryu H.-C., Lee S.-W. // J. Organomet. Chem. 2000. Vol. 610. P. 38. doi 10.1016/S0022-328X(00)00386-7
- Qin W., Yasuike S., Kakusawa N., Kurita J. // J. Organomet. Chem. 2008. Vol. 693. P. 2949. doi 10.1016/j.jorganchem.2008.05.039
- 22. *Akiba K., Ohnari H., Ohkata K.* // Chem. Lett. 1985. Vol. 14. N 10. P. 1577. doi 10.1246/cl.1985.1577
- 23. *Huang Y.-Z.*, *Liao Y. //* J. Org. Chem. 1991. Vol. 56. P. 1381. doi 10.1021/jo00004a010
- 24. Huang Y.-Z., Zhang L.-J., Chen C., Guo G.-Z. // J. Organomet. Chem. 1991. Vol. 412. P. 47. doi 10.1016/0022-328X(91)86040-W
- Zhang L.-J., Huang Y.-Z., Huang Z.-H. // Tetrahedron Lett. 1991. Vol. 32. N 45. P. 6579. doi 10.1016/0040-4039(91)80226-V
- 26. Гущин А.В., Малеева А.И., Кипелкин Е.В., Туманян А.С., Андреев П.В., Овсецина Т.И., Сомов Н.В. // ЖОХ. 2021. Т. 91. № 2. С. 274; Gushchin A.V., Maleeva A.I., Kipelkin E.V., Tumanyan A.S., Andreev P.V., Ovsetsina T.I., Somov N.V. // Russ. J. Gen. Chem. 2021. Vol. 91. N 2. P. 227. doi 10.1134/S1070363221020110
- 27. Fujiwara M., Imada M., Baba A., Matsuda H. // Tetrahedron Lett. 1989. Vol. 30. P. 739.
- 28. Fujiwara M., Baba A., Matsuda H. // J. Heterocycl. Chem. 1989. Vol. 26. P. 1659. doi 10.1002/jhet.5570260628
- 29. *Henry M.C., Wittig G.* // J. Am. Chem. Soc. 1960. Vol. 82. N 3. P. 563. doi 10.1021/ja01488a017
- Henning D., Kempter G., Ahrens E., Benecke K.D., Paul P. // Z. Chem. 1967. Vol. 7. N 12. P. 463. doi 10.1002/zfch.19670071213

- 31. *Henning D., Kempter G., Worlitzer K.-D.* // Z. Chem. 1969. Vol. 9. N 8. P. 306. doi 10.1002/zfch.19690090813
- 32. Wada M., Miyake S., Hayashi S., Ohba H., Nobuki S., Hayase S., Erabi T. // J. Organomet. Chem. 1996. Vol. 507. P. 53. doi 10.1016/0022-328X(95)05716-3
- 33. Егорова И.В., Жидков В.В., Гринишак И.П., Багрянская И.Ю., Первухина Н.В., Ельцов И.В., Куратьева Н.В. // ЖНХ. 2019. Т. 64. № 1. С. 15; Egorova I.V., Zhidkov V.V., Grinishak I.P., Bagryanskaya I.Yu., Pervukhina N.V., El'tsov I.V., Kurat'eva N.V. // Russ. J. Inorg. Chem. 2019. Vol. 64. № 1. Р. 28. doi 10.1134/ S0036023619010078
- 34. Егорова И.В., Жидков В.В., Гринишак И.П., Родионова Н.А., Багрянская И.Ю., Первухина Н.В. // ЖОХ. 2021. Т. 91. № 7. С. 1100; Egorova I.V., Zhidkov V.V., Grinishak I.P., Rodionova N.A., Bagryanskaya I.Yu., Pervukhina N.V. // Russ. J. Gen. Chem. 2021. Vol. 91. N 7. P. 1361. doi 10.1134/S1070363221070148
- 35. *Nakamoto K*. Infrared and Raman Spectra of Inorganic and Coordination Compounds. New York: J. Wiley & Sons, 1986. 484 pp.
- 36. *Преч Э., Бюльманн Ф., Аффольтер К.М.* Определение строения органических соединений. Таблицы спектральных данных. М.: Мир, 2013. 438 с.
- 37. *Goebbert D.J., Garand E., Wende T., Bergmann R., Meijer G., Asmis K.R., Neumark D.M.* // J. Phys. Chem. A. 2009. Vol. 113. P. 7584. doi 10.1021/jp9017103
- Cordero B., Gomez V., Platero-Prats A.E., Reves M., Echeverria J., Cremades E., Barragan F., Alvarez S. // J. Chem. Soc., Dalton Trans. 2008. Vol. 21. P. 2832. doi 10.1039/B801115J
- 39. Cambridge Structural Database System, Version 5.43, 2021
- Mantina M., Chamberlin A.C., Valero R., Cramer C.J., Truhlar D.G. // J. Phys. Chem. 2009. Vol. 113. P. 5806. doi 10.1021/jp8111556
- 41. *Бацанов С.С.* // Неорг. материалы. 2001. Т. 37. № 9. С. 1031; *Batsanov S.S.* // Inorg. Mater. 2001. Vol. 37. N 9. P. 871. doi 10.1023/A:1011625728803
- 42. *Hu S.-Z., Zhou Z.-H., Robertson B.E.* // Z. Kristallogr. 2009. Vol. 224. N 8. P. 375. doi 10.1524/zkri.2009.1158
- 43. Alvarez S. // Dalton Trans. 2013. Vol. 42. N 24. P. 8617. doi 10.1039/C3DT50599E
- 44. *Allinger N.L., Zhou X., Bergsma J. //* J. Mol. Struct. (Theochem.). 1994. Vol. 312. P. 69. doi 10.1016/S0166-1280%2809%2980008-0
- 45. Войт Е.И., Панасенко А.Е., Земнухова Л.А. // ЖСХ. 2009. Т. 50. № 1. С. 66; Voit E.I., Panasenko A.E., Zemnukhova L.A. // J. Struct. Chem. 2009. Vol. 50. N 1. P. 60. doi 10.1007/s10947-009-0008-0
- Bruker AXS Inc., APEX2 (Version 1.08), SAINT (Version 7.03), and SADABS (Version 2.11). Bruker Advanced X-ray Solutions, Madison, Wisconsin, USA, 2004.
- 47. Sheldrick G.M. // Acta Crystallogr. (A). 2015. Vol. 71. P. 3. doi 10.1107/S2053229614024218

# Tris(2,6-dimethoxyphenyl)ethylstibonium Iodide and Nitrate: Synthesis, Structure, and Some Properties

I. V. Egorova<sup>a,\*</sup>, V. V. Zhidkov<sup>a</sup>, I. N. Zubakina<sup>a</sup>, N. A. Rodionova<sup>a</sup>, N. V. Kuratieva<sup>b</sup>, and N. V. Pervukhina<sup>b</sup>

<sup>a</sup> Blagoveschensk State Pedagogical University, Blagoveschensk, 675000 Russia <sup>b</sup> Nikolaev Institute of Inorganic Chemistry, Siberian Branch of the Russian Academy of Sciences, Novosibirsk, 630090 Russia \*e-mail: bgpu.chim.egorova@mail.ru

Received July 5, 2023; revised August 14, 2023; accepted August 14, 2023

Alkylation of tris(2,6-dimethoxyphenyl)stibine  $Ar_3Sb$ , where Ar = 2,6-(MeO) $_2C_6H_3$ , with iodoethane in chloroform resulted in [Ar $_3$ EtSb]I, which further reacted with lead(II) nitrate to form [Ar $_3$ EtSb]NO $_3 \cdot 0.75H_2O$ . The comparative characterization of the complexes was carried out by X-ray diffraction analysis, IR spectroscopy, and simultaneous thermal analysis. Antimony atoms in stibonium cations have a distorted tetrahedral coordination [CSbC 106.80(12)–115.22(12)° and 105.33(14)–115.33(14)°]. In a boiling aqueous solution, [Ar $_3$ EtSb]I, [Ar $_3$ EtSb]NO $_3 \cdot 0.75H_2O$  decompose to tris(2,6-dimethoxyphenyl)stibine.

**Keywords:** organic antimony compounds, triarylstibin, ethyliodide, lead(II) nitrate, thermogravimetry